

## **Предельное исчерпание локальной пластичности как критерий зарождения усталостной трещины**

**Г. В. Цыбанев, А. И. Новиков**

Институт проблем прочности им. Г. С. Писаренко НАН Украины, Киев, Украина

*Предложенная ранее авторами расчетная модель оценки долговечности циклически упрочняющихся материалов развита для разупрочняющихся материалов. Обоснованы условия оценки параметров модели. Приведенные расчетные зависимости неупругих деформаций от числа циклов нагружения сопоставлены с экспериментальными.*

**Ключевые слова:** долговечность, циклически упрочняющиеся и разупрочняющиеся материалы, неупругие деформации.

**Введение.** Существующие расчетные модели и методы, позволяющие прогнозировать долговечность конструктивных элементов как по полному разрушению, так и по зарождению усталостной трещины, включают характеристики материала, которые требуют специального определения. Это затрудняет использование созданных баз данных по усталости [1].

В процессе многоциклового нагружения большинства металлов и сплавов происходит изменение их неупругой деформации [2]. Под действием циклического деформирования в мягком режиме может наблюдаться как уменьшение, так и увеличение петли гистерезиса с наработкой, что связано с эффектами упрочнения или разупрочнения материала [2].

Ранее [3] рассмотрена модель поведения циклически упрочняющегося материала. С целью расширения круга материалов, для которых может быть использован подобный подход к оценке долговечности элементов конструкций, ниже представлена расчетная модель деформирования циклически разупрочняющихся материалов, предполагающая их усталостное разрушение при предельном исчерпании пластичности в некотором локальном объеме.

**Описание расчетной модели предельного состояния материалов.** Рассмотрим [4] модель циклического деформирования некоторой локальной зоны, принадлежащей поверхностному слою. Для описания модели исчерпания пластичности материала принимаем следующие гипотезы:

процессы изменения локального циклического предела текучести материала и зарождения усталостной трещины происходят в некотором объеме поверхностного слоя;

повторное неупругое деформирование приводит к упрочнению–разупрочнению материала в исследуемой зоне, выражающемуся в изменении предела текучести с каждым полциклом нагружения;

за начальное значение локального циклического предела текучести принята величина, определенная по появлению пластических деформаций [2], а за предельное состояние материала – достижение локальным циклическим пределом текучести своего критического значения [5] в зонах локализации напряжений;

циклическое деформирование материала происходит так, что полная локальная деформация не зависит от величины наработки.

На рис. 1 представлена графическая интерпретация модели, где  $\sigma_a$  – амплитуда напряжения;  $\sigma_k$  – критическое напряжение усталости [6];  $\sigma_T$  – текущий наработанный предел текучести;  $\sigma_{T,0}$  – исходный локальный циклический предел текучести;  $\sigma_{T,cr}$  – критическое локальное значение циклического предела текучести;  $n$  – текущее число циклов нагружения;  $N$  – число циклов нагружения до разрушения при заданном  $\sigma_a$ ;  $\varepsilon_a$ ,  $\varepsilon_{pl}$  – полная и пластическая амплитуды деформации.

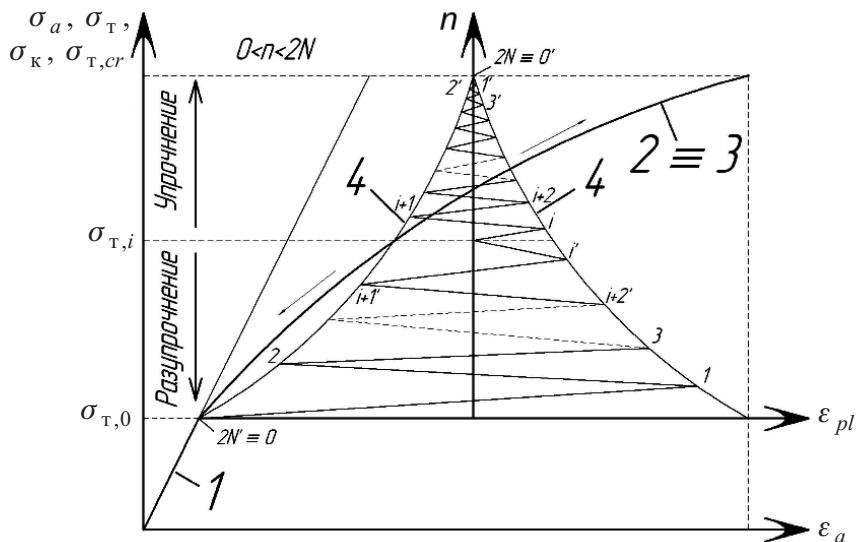


Рис. 1. Графическое представление модели: 1, 2 – упругое и неупругое деформирование  $\sigma_a - \varepsilon_a$ ; 3 – диаграмма  $\sigma_T - \varepsilon_{pl}$ ; 4 – кинетические кривые упрочнения–разупрочнения  $n - \varepsilon_{pl}$  (1, 2, 3, ...,  $i-1$ ,  $i$ ,  $i+1$ , ...,  $2N$  – пики деформирования при соответствующих циклах нагружения, цифры со штрихами соответствуют разупрочнению, без штрихов – упрочнению).

В отличие от схемы деформирования Орована [7], в модели рассматриваются неупругие кривые (на рис. 1 кривые 3, 4), а также приняты другие условия начала пластических деформаций и наступления предельного состояния.

**Вывод основного уравнения модели предельного истощения пластичности.** Дальнейшие выкладки предлагаемой модели выполнены по схеме Афанасьева [4] для построения кривой усталости при использовании статической диаграммы деформирования упрочняющегося материала с учетом новых предположений и принятием других исходных данных [3]. Вследствие этих изменений решается обратная задача: параметры упрочнения–разупрочнения материала определяются не из статической диаграммы деформирования, а из известных кривых усталости.

Рассмотрим циклическое неупругое деформирование материала в локальной зоне, являющейся потенциальным местом зарождения трещины усталости, при нагружении симметричным циклом. В соответствии с принятыми выше гипотезами, амплитуду деформации локальной зоны в поверхностном слое запишем как

$$\varepsilon_a = F(\sigma_a), \quad (1)$$

где  $F(\sigma_a)$  – функция, описывающая циклическую диаграмму деформирования.

С другой стороны, полная деформация выражается так:

$$\varepsilon_a = \varepsilon_{el} + \varepsilon_{pl}, \quad (2)$$

где  $\varepsilon_{el}$  – амплитуда упругой деформации.

В процессе исчерпания пластичности в локальной зоне происходит перераспределение между упругой и пластической составляющими деформации, и на каждом  $i$ -м полуцикле они могут быть найдены следующим образом:

$$\varepsilon_{el,i} = \varepsilon_a(\sigma_{T,i}), \quad \varepsilon_{pl,i} = \varepsilon_a(\sigma_a) - \varepsilon_a(\sigma_{T,i}). \quad (3)$$

Для описания процесса исчерпания пластичности материала введем функцию изменения циклического предела текучести от некоторого его начального значения  $\sigma_{T,0}$  до граничного, при котором наступает предельное состояние материала в рассматриваемой локальной зоне.

Примем, как и в работе [4], что ядро кривой текучести определяется некоторой степенной функцией:

$$\sigma_T = \sigma_{T,0} \pm f(\varepsilon_{pl}) = \sigma_{T,0} \pm b(\sigma_a - \sigma_T)^{1/a}, \quad (4)$$

где  $\sigma_T$  – текущее значение предела текучести;  $f(\varepsilon_{pl})$  – ядро функции текучести;  $a$  – показатель нелинейности;  $b$  – коэффициент пропорциональности; коэффициент  $a$  описывает нелинейность процесса деградации, коэффициент  $b$  – часть деградации, приобретенной на данном цикле нагружения; знак “+” здесь и далее применяется для упрочняющегося материала, знак “–” – для разупрочняющегося.

Согласно описанной модели деградации материала, т.е. его упрочнения или разупрочнения, вследствие которой происходит исчерпание пластичности в зоне локализации неупругих деформаций, можно записать текущее значение предела текучести на  $(i+1)$ -м полуцикле:

$$\sigma_{T,i+1} = \sigma_{T,i} \pm \frac{\partial f(\varepsilon_{pl})}{\partial \varepsilon_{pl}} \varepsilon_{pl,i}, \quad (5)$$

где  $\sigma_{T,i}$  – предел текучести на  $i$ -м полуцикле нагружения;  $\sigma_{T,i+1}$  – предел текучести на  $(i+1)$ -м полуцикле нагружения;  $\varepsilon_{pl,i}$  – значение пластической деформации на  $i$ -м полуцикле нагружения.

После преобразований уравнения (5) с учетом (3), принимая его для большого числа полуциклов и переходя от дискретных значений к скалярным и приростам величин, заменяя их дифференциалами и интегрируя с помощью начальных условий, получаем

$$\int_0^{2N} dn = \pm E \int_{\sigma_{T,0}}^{\sigma_{T,cr}} \frac{d\sigma_T}{\frac{\partial f(\varepsilon_{pl})}{\partial \varepsilon_{pl}} (\sigma_a - \sigma_T)}, \quad (6)$$

где  $d\sigma_T$ ,  $dn$  – прирост предела текучести и полуциклов нагружения;  $E$  – модуль продольной упругости.

Частную производную в знаменателе зависимости (6) определим после дифференцирования (4) с учетом (3) и подстановки  $(\sigma_a - \sigma_T)$  из (4):

$$\frac{\partial f(\varepsilon_{pl})}{\partial \varepsilon_{pl}} = \frac{b^a (\sigma_T - \sigma_{T,0})^{1-a}}{a + b^a (\sigma_T - \sigma_{T,0})^{1-a}}. \quad (7)$$

После преобразований (6) с учетом (7) окончательная расчетная зависимость для определения числа циклов до разрушения на заданной амплитуде напряжения принимает вид

$$N = \pm \frac{a}{2b^a} E \left[ \int_{\sigma_{T,0}}^{\sigma_{T,cr}} \frac{(\sigma_T - \sigma_{T,0})^{a-1}}{\sigma_a - \sigma_T} d\sigma_T \pm \ln \left| \frac{\sigma_a - \sigma_{T,0}}{\sigma_a - \sigma_{T,cr}} \right|^{1/a} \right]. \quad (8)$$

Зависимость (8) представляет собой связь между текущим значением предела текучести и числом циклов нагружения до достижения заданного предельного состояния в рассматриваемой локальной зоне поверхностного слоя материала при нагружении его амплитудой  $\sigma_a$ , т.е. уравнение кривой усталости из модели предельного исчерпания пластичности.

**Определение параметров предложенной модели предельного исчерпания пластичности.** Зависимость (8) содержит интеграл, зависящий от параметров  $a$  и  $b$ , которые являются характеристиками данного материала и условий нагружения. Коэффициенты  $a$  и  $b$  могут быть найдены из системы нелинейных уравнений, составленных с помощью основного уравнения модели (8) и решенных численными методами. При этом интеграл выражается в виде суммы сходящегося бесконечного ряда. Для численного решения этой системы уравнений принимаем, что, как и в случае упрочняющегося материала, исходными данными для определения параметров модели являются пределы выносливости и прочности и кривая усталости гладких образцов [3] при условии, что начальные условия соответственно для упрочнения и разупрочнения могут быть получены следующим образом:

$$\sigma_{T,0} = m_1 \sigma_{-1} = 0,5 \sigma_{-1}; \quad \sigma_{T,cr} = m_2 \sigma_K = 1,2 \sigma_K; \quad (9a)$$

$$\sigma_{T,0} = m_3 \sigma_K = 1,2 \sigma_K; \quad \sigma_{T,cr} = m_4 \sigma_{-1} = 0,9 \sigma_{-1}. \quad (9б)$$

Решение искомого интеграла находим путем разложения подынтегральной функции в ряд Тейлора. Решая исходный интеграл из уравнения (8),

получаем сходящийся бесконечный ряд. Подставив его в (8), запишем в окончательном виде основное уравнение модели для численной обработки:

$$N = \frac{a}{2b^a} E \left[ \sum_{m=0}^{\infty} \left[ \frac{\sigma_{T,cr}^{m+1} - \sigma_{T,0}^{m+1}}{(m+1)!} \frac{d^{(m)}}{d\sigma_T^{(m)}} \left( \frac{(\sigma_T - \sigma_{T,0})^{a-1}}{\sigma_a - \sigma_T} \right) \right]_{\sigma_T=0} \right] + \ln \left| \frac{\sigma_a - \sigma_{T,0}}{\sigma_a - \sigma_{T,cr}} \right|^{1/a}. \quad (10)$$

Сумма ряда в выражении (10), а соответственно и точность описания интеграла зависят от количества членов ряда  $m$ , которые принимаются при рассмотрении. Согласно проведенному анализу, для достаточной точности в выражении (10) можно оставлять не более 8–15 членов ряда, при этом общая ошибка составляет приблизительно 3...7%.

Уравнение (10) представляет собой уравнение кривой усталости в неявном виде для диапазона амплитуд напряжений от предела выносливости  $\sigma_{-1}$  до критического напряжения усталости  $\sigma_k$ .

Для определения искомых параметров диаграммы циклического разрушения  $a$  и  $b$  по полученному основному уравнению (10) составлена система нелинейных уравнений для граничных условий конца и начала многоциклового участка усталости с условием достижения материалом предельного состояния:

$$\left\{ \begin{aligned} N_k &= \frac{a}{2b^a} E \left[ \sum_{m=0}^{\infty} \left[ \frac{\sigma_{T,cr}^{m+1} - \sigma_{T,0}^{m+1}}{(m+1)!} \frac{d^{(m)}}{d\sigma_T^{(m)}} \left( \frac{(\sigma_T - \sigma_{T,0})^{a-1}}{\sigma_k - \sigma_T} \right) \right]_{\sigma_T=0} \right] + \\ &+ \ln \left| \frac{\sigma_k - \sigma_{T,0}}{\sigma_k - \sigma_{T,cr}} \right|^{1/a}; \\ N_0 &= \frac{a}{2b^a} E \left[ \sum_{m=0}^{\infty} \left[ \frac{\sigma_{T,cr}^{m+1} - \sigma_{T,0}^{m+1}}{(m+1)!} \frac{d^{(m)}}{d\sigma_T^{(m)}} \left( \frac{(\sigma_T - \sigma_{T,0})^{a-1}}{\sigma_{-1} - \sigma_T} \right) \right]_{\sigma_T=0} \right] + \\ &+ \ln \left| \frac{\sigma_{-1} - \sigma_{T,0}}{\sigma_{-1} - \sigma_{T,cr}} \right|^{1/a}. \end{aligned} \right. \quad (11)$$

При решении системы (11) значения параметров деградации материала  $a$  и  $b$  необходимо выбирать с учетом условия (2), т.е. наличия неупругих деформаций для рассматриваемой локальной зоны. Для этого связь между  $\sigma_a$  и  $\varepsilon_{pl}$  принимаем в виде экспоненциальной функции как в [2]:

$$\sigma_a = A \ln(\varepsilon_{pl}) + B, \quad \varepsilon_{pl} = e^{(\sigma_a - B)/A}, \quad (12)$$

где  $A$  и  $B$  – параметры, подлежащие определению.

Для нахождения параметров  $A$  и  $B$  задаем значения пластических деформаций на двух уровнях амплитуды напряжений. При описании характера изменения и уровня локальных неупругих деформаций при наработке основывались на анализе этих деформаций, который проводили с использованием данных литературных источников [8, 9] и полученных ранее результатов [2, 3, 10].

Уровень неупругих деформаций задаем для амплитуд напряжений  $\sigma_k$  и  $\sigma_{-1}$ . Принимаем, что при наработке, равной половине долговечности  $N$  на граничных уровнях  $\sigma_a$  в системе уравнений (11), пластическая деформация  $\varepsilon_{pl}$  определяется соответственно для упрочнения и разупрочнения как

$$\varepsilon_{pl}(\sigma_{-1}) = \frac{\sigma_k - \sigma_{-1}}{E}; \quad \varepsilon_{pl}(\sigma_k) = \frac{\sigma_b - \sigma_{-1}}{E}; \quad (13a)$$

$$\varepsilon_{pl}(\sigma_{-1}) = \frac{\sigma_{-1} - \sigma_{т,0}}{E}; \quad \varepsilon_{pl}(\sigma_k) = \frac{\sigma_k - \sigma_{-1}}{E}. \quad (13б)$$

Решением системы (11) совместно с условиями (13) являются численные значения двух искомым параметров  $a$  и  $b$ , по которым могут быть построены диаграммы изменения локального циклического предела текучести для разных амплитуд напряжений по уравнению (4). Кривые изменения циклического предела текучести, а следовательно, и параметры деградации материала, позволяющие получить одну и ту же долговечность, множественны. Поэтому, записав условия (13) в другом виде, можно описать иное поведение материала в процессе циклического нагружения.

Для апробации модели взяты четыре разупрочняющихся материала: стали 40Х(II) и 1Х17Н2Ш, технически чистая медь в состоянии поставки и латунь Л62. Из системы уравнений, составленных по зависимости (11) в соответствии с условиями (13), и по вышеизложенным методикам были найдены значения параметров упрочнения  $a$  и  $b$  (таблица).

**Значения параметров  $a$  и  $b$  и координаты характерных точек кривых усталости для выбранных материалов по полному разрушению**

Материал	$N_k \cdot 10^{-4}$ , цикл	$\sigma_k$ , МПа	$N_0 \cdot 10^{-7}$ , цикл	$\sigma_{-1}$ , МПа	$a$	$b$	Литературный источник
Сталь 40Х(II)	5	380	0,7	300	1,61	0,39	[2]
Сталь 1Х17Н2Ш	5	490	1,0	390	1,95	0,58	[2]
Медь	5	175	1,0	100	1,21	0,25	[2]
Латунь Л62	5	300	1,0	150	1,42	0,31	[2]

С использованием расчетных параметров  $a$  и  $b$  могут быть построены кривые усталости по уравнениям (8) или (10), что подтверждает правильность нахождения данных параметров. Ранее [3] подобные решения были получены для циклически упрочняющихся металлов. Максимальная ошибка по долговечности для расчетных и экспериментальных кривых усталости по полному разрушению составляет +5,31%.

**Определение кинетики неупругого циклического деформирования на основе модели предельного исчерпания пластичности.** При описании кинетики расчетной неупругой деформации необходимо определить значения предела текучести  $\sigma_{T,i}$  и пластической деформации  $\varepsilon_{pl,i}$  в каждом цикле. Для этого подставим (7) в (5) и с учетом выражения (3), записанного для  $i$ -го полуцикла, получим окончательно уравнение для нахождения предела текучести  $\sigma_{T,i}$  на каждом полуцикле нагружения:

$$\sigma_{T,i+1} = \sigma_{T,i} + \frac{1}{E} \frac{b(\sigma_a - \sigma_{T,i})^{(1-a)/a}}{a + b(\sigma_a - \sigma_{T,i})^{(1-a)/a}} (\sigma_a - \sigma_{T,i})^a. \quad (14)$$

Затем, можно найти размах неупругой деформации  $\Delta\varepsilon_{pl}$ , соответствующий каждому циклу нагружения, определяемый как сумма значений неупругих деформаций в двух полуциклах, составляющих один цикл нагружения. Выражение (3) преобразуется так:

$$\Delta\varepsilon_{pl,j} = \varepsilon_{pl,2j-1} + \varepsilon_{pl,2j} = 2\varepsilon_a(\sigma_a) - \varepsilon_a(\sigma_{T,2j-1}) - \varepsilon_a(\sigma_{T,2j}). \quad (15)$$

Далее можно построить графики изменения расчетной неупругой деформации (рис. 2) для ряда выбранных материалов, характеристики которых представлены в таблице.

Из рис. 2 видно, что расчетные зависимости монотонны и отображают разработанную модель: происходит стабильное повышение неупругой деформации на всех уровнях амплитуд напряжений. В то же время экспериментальные кривые несколько отличаются от расчетных, что можно считать закономерным, так как первые отображают процесс в локальном объеме материала, разупрочнение в котором приведет к усталостному разрушению, вторые – осредненную неупругую деформацию во всем объеме металла [2, 10]. В соответствии с [6], начальное скольжение материала начинается в самых слабых единицах структуры, в которых в последующем происходит зарождение трещины и ее рост.

Для трактовки правильности модели весьма показательным является близкая картина изменения расчетных и экспериментальных величин неупругой деформации, что свидетельствует о корректности допущений при построении модели, хотя уровень и интенсивность роста расчетных кривых выше экспериментальных, что связано с их локальностью.

**Заключение.** Предложена модель предельного исчерпания пластичности материала для области многоциклового усталости, в основу которой положены математическое описание Афанасьева и схема упрочнения Орована. Модель позволяет определить параметры упрочнения–разупрочнения материала и

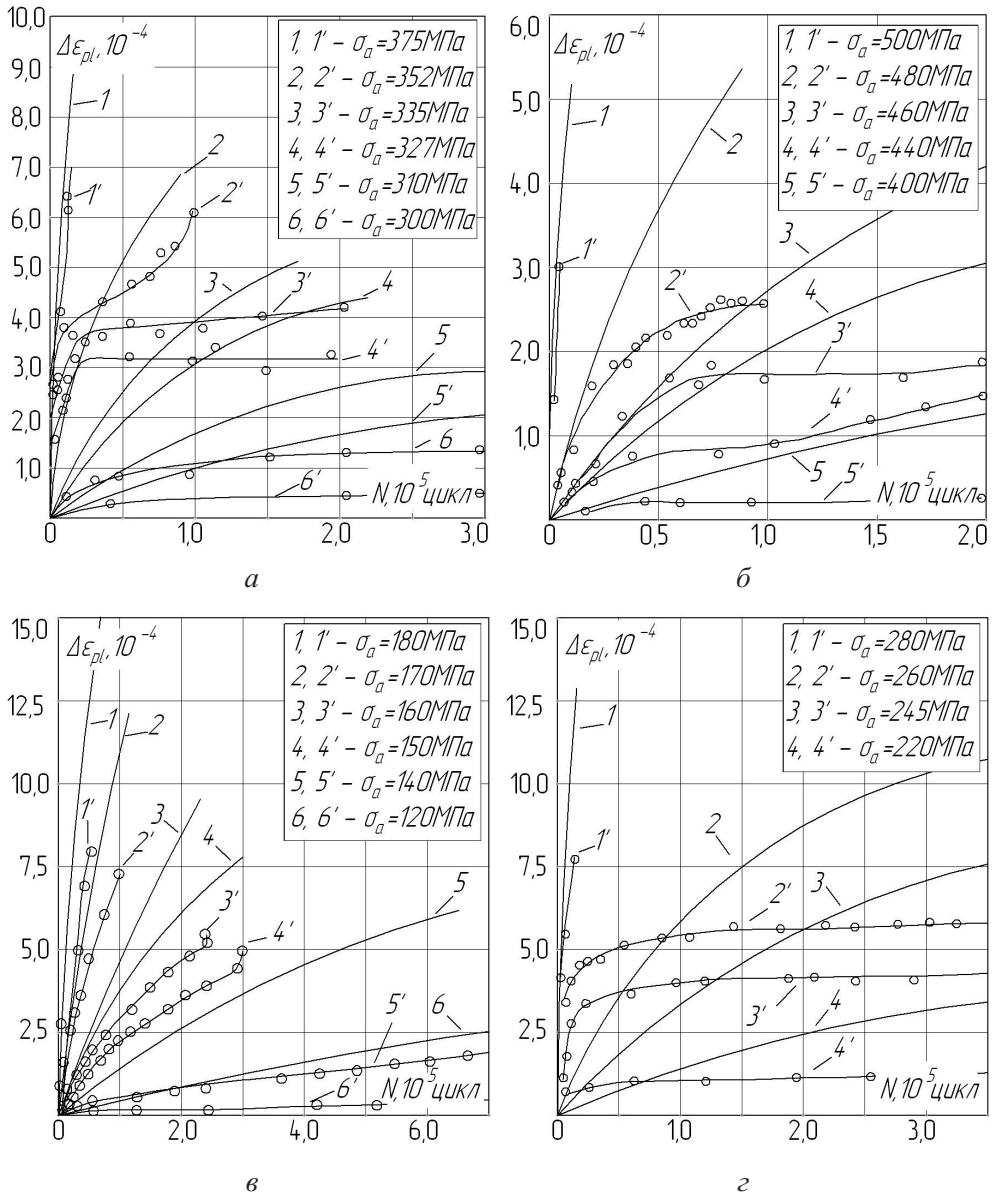


Рис. 2. Расчетное (цифры со штрихом) и экспериментальное (цифры без штрихов) [2] изменение размаха неупругой деформации за цикл для разных  $\sigma_a$  в зависимости от числа циклов нагружения для сталей 40X(II) (а) и 1X17H2Ш (б), меди (в) и латуни L62 (г).

кинетику локального циклического неупругого деформирования материала по кривой усталости. Апробирование модели по кривым усталости и по кинетике неупругого циклического деформирования показывает, что ее можно использовать для качественного и количественного описания неупругого деформирования материалов в процессе усталости. Важным аспектом модели является то, что ее параметры определяются по известным механическим характеристикам материалов и кривой многоциклового усталости, которые могут быть взяты из базы данных.



Параметры разрабатываемой модели будут использоваться в программе расчета долговечности элементов конструкций при наличии переменных циклических амплитудных и средних напряжений, а также градиента напряжений.

## Резюме

Запропоновану раніше авторами розрахункову модель оцінки довговічності циклічно зміцнюваних матеріалів розвинено для знемцнюваних матеріалів. Обґрунтовано умови оцінки параметрів моделі. Приведені розрахункові залежності непружних деформацій від числа циклів навантаження зіставляються з експериментальними.

1. Троценко В. Т., Лепихин П. П., Хамаза Л. А., Бабич Ю. Н. Автоматизированный банк данных "Прочность материалов" // Пробл. прочности. – 2009. – № 3. – С. 5 – 13.
2. Троценко В. Т., Хамаза Л. А., Цыбанев Г. В. Методы ускоренного определения пределов выносливости металлов на основе деформационных и энергетических критериев. – Киев: Наук. думка, 1979. – 172 с.
3. Цыбанев Г. В., Новиков А. И. Определение параметров диаграммы циклического упрочнения по результатам испытаний материала на многоцикловую усталость // Надійність і довговічність машин і споруд. – 2008. – 30. – С. 160 – 168.
4. Афанасьев Н. Н. Статистическая теория усталостной прочности металлов. – Киев: Изд-во АН УССР, 1953. – 128 с.
5. Цыбанев Г. В., Цыбанев М. В. Модель предельного упрочнения материала как критерия зарождения трещины при многоцикловом нагружении // Динаміка, міцність і ресурс машин та конструкцій: Тез. доп. міжнар. наук.-техн. конф. – Киев: Ин-т пробл. материаловедения НАН Украины, 2005. – Т. 2. – С. 361 – 362.
6. Иванова В. С., Терентьев В. Ф. Природа усталости металлов. – М.: Металлургия, 1975. – 456 с.
7. Orowan E. Theory of the fatigue of metals // Proc. Roy. Soc. – 1939. – 171 (944). – P. 79 – 106.
8. Klesnil M. and Lucas P. Fatigue of Metallic Materials. – Prague: Academia, 1980. – 239 p.
9. Sasaki S. and Ochi Y. Some experimental study of fatigue slip bands and persistent slip bands during fatigue process of low-carbon steel // Fract. Mech. – 1979. – 12. – P. 531 – 540.
10. Троценко В. Т., Коваль Ю. И., Цыбанев Г. В. Исследование связи усталостной долговечности металлов с уровнем циклических неупругих деформаций // Пробл. прочности. – 1977. – № 11. – С. 9 – 14.

Поступила 21. 06. 2009